

1. Un cristallo cubico semplice di passo reticolare $a = 0.1 \text{ nm}$ è illuminato con una sorgente a raggi X di energia $E = 5 \text{ keV}$. Determinare tutti gli angoli di diffrazione associati alla famiglia di piani $\{2\ 1\ 1\}$.
2. Una sfera di tungsteno di raggio $r_1 = 1 \text{ cm}$ emette metà della potenza di un corpo nero BB_1 di pari area. Sapendo che il corpo nero BB_1 si trova alla stessa temperatura di un corpo nero BB_2 di raggio $r_2 = 2 \text{ cm}$ che emetta una potenza $P_2 = 2 \text{ kW}$, determinare la potenza emessa dalla sfera di tungsteno.
3. Si consideri un profilo di potenziale del tipo $V(x) = \alpha x^\beta$, con $\alpha = 0.1 \text{ eV/nm}^{3/2}$, $\beta = 3/2$. Dopo aver stimato a mezzo del principio di indeterminazione di Heisenberg l'esponente γ della progressione degli autovalori n^γ , determinare la lunghezza d'onda del fotone associato al rilassamento dal quarto al secondo autostato.
4. Una particella è caratterizzata da una relazione di dispersione $\omega(k) = 2\omega_0 \sin(2ka)$, con $a = 0.3 \text{ nm}$ e $\omega_0 = 5 \text{ Trad/s}$. Considerando un pacchetto d'onda centrato in $k_0 = 10^9 \text{ m}^{-1}$, con peso gaussiano $g(k)$ avente $\sigma_k = k_0/5$, tracciare un grafico quotato della dispersione spaziale in funzione del tempo $\sigma_x(t)$.
5. Un elettrone in un cristallo monodimensionale è descritto da un'autofunzione $\psi_k(x)$ con $k = 10^9 \text{ m}^{-1}$. Sapendo che l'autofunzione $\psi_k(x)$ ha lunghezza d'onda pari a 10 passi reticolari, calcolare il passo reticolare a . Tracciare quindi il profilo della parte reale della funzione involuppo e dell'autofunzione su 5 passi reticolari, sapendo che la funzione di Bloch $u_k(x)$ ha un solo massimo in corrispondenza di ogni atomo, e si annulla nella regione di barriera.
6. Si consideri il diagramma a bande in **Fig. 1**, dove un elettrone viene promosso dalla banda di valenza alla banda di conduzione mediante assorbimento di un fotone di lunghezza d'onda $\lambda = 1 \mu\text{m}$ in corrispondenza di $k^* = 10^9 \text{ m}^{-1}$. Note $E_g = 1 \text{ eV}$, $m^*_v = 0.5m_e$, $m^*_c = 0.1m_e$, determinare la posizione k_0 del fondo della banda di conduzione e l'energia cinetica dell'elettrone a seguito della promozione in BC.
7. Si considerino due campioni metallici con funzioni lavoro $W_1 = 5 \text{ eV}$, $W_2 = 4.3 \text{ eV}$. Determinare a che temperatura T_2 deve essere portato il secondo materiale per garantire la stessa densità di corrente termoionica del primo campione alla temperatura $T_1 = 425 \text{ K}$.
8. Determinare la massa DOS e di conduzione per lacune ed elettroni per il nitruro di boro (BN), sapendo che i minimi della BC sono centrati nei punti X, e note $m^*_{l,BC} = 1.2m_e$, $m^*_{t,BC} = 0.26m_e$, $m^*_{hh} = 0.962m_e$, $m^*_{lh} = 0.108m_e$.
9. Si consideri la barretta di silicio drogata sottoposta ad esperimento di effetto Hall in **Fig. 2**, dove $W = 1 \mu\text{m}$, $L = 100 \mu\text{m}$, $t = 100 \text{ nm}$, $V_L = 1 \text{ V}$, $B = 1 \text{ T}$, $V_H = 10 \text{ mV}$ positiva nel verso indicato in figura. Nota la corrente a temperatura ambiente $I = 100 \mu\text{A}$, determinare tipologia, mobilità e concentrazione dei portatori. Stimare quindi la corrente alle temperature $T = 50 \text{ K}$ e $T = 400 \text{ K}$, assumendo che il semiconduttore permanga nel regime estrinseco di funzionamento.
10. Una barretta di silicio drogata n ($N_D = 10^{17} \text{ cm}^{-3}$) a temperatura ambiente contiene un eccesso di portatori minoritari $p' = 10^{16} \text{ cm}^{-3}$. Noto il tempo di ricombinazione dei minoritari $\tau_p = 20 \text{ ns}$, calcolare il tempo necessario affinché il quasi-livello di Fermi per le lacune aumenti di 50 meV , e la posizione del quasi-livello di Fermi per le lacune al tempo $t = 750 \text{ ns}$.

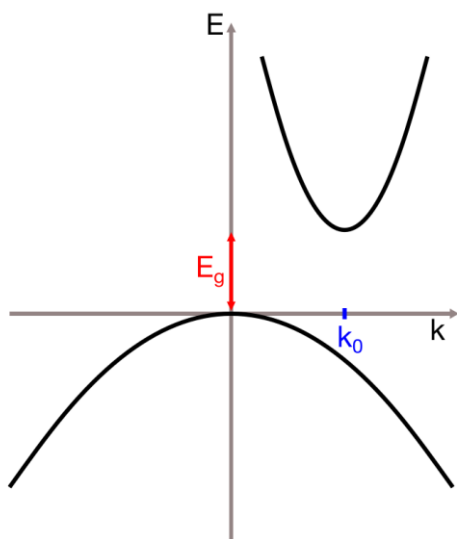


Fig. 1

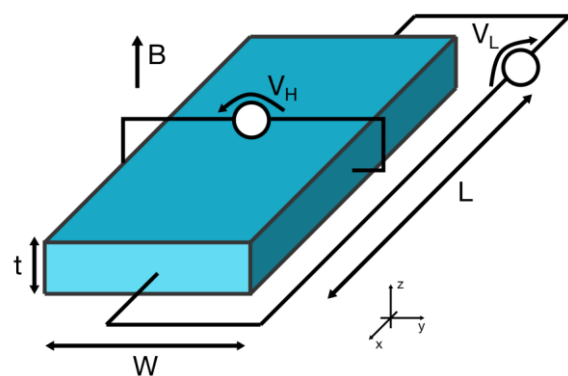


Fig. 2

1. A simple cubic crystal with lattice step $a = 0.1 \text{ nm}$ is illuminated by an X-ray source of energy $E = 5 \text{ keV}$. Calculate all the diffraction angles associated with the plane family $\{2\ 1\ 1\}$.
2. A tungsten sphere of radius $r_1 = 1 \text{ cm}$ emits half of the power of a black body BB_1 with the same area. Knowing that the black body BB_1 is at the same temperature of a black body BB_2 of radius $r_2 = 2 \text{ cm}$ emitting a power $P_2 = 2 \text{ kW}$, calculate the power emitted by the tungsten sphere.
3. Consider a potential profile $V(x) = \alpha x^\beta$, con $\alpha = 0.1 \text{ eV/nm}^{3/2}$, $\beta = 3/2$. After estimating through Heisenberg's indeterminacy principle the exponent γ of the eigenvalue progression n^γ , determine the wavelength of the photon associated with the relaxation from the fourth to the second eigenstate.
4. A particle is characterized by the dispersion equation $\omega(k) = 2\omega_0 \sin(2ka)$, with $a = 0.3 \text{ nm}$ and $\omega_0 = 5 \text{ Trad/s}$. Considering a wavepacket centered in $k_0 = 10^9 \text{ m}^{-1}$, with gaussian weight $g(k)$ having $\sigma_k = k_0/5$, draw a quoted plot of the spatial dispersion as a function of time $\sigma_x(t)$.
5. An electron in a 1D crystal is described by an eigenfunction $\psi_k(x)$ with $k = 10^9 \text{ m}^{-1}$. Knowing that the eigenfunction $\psi_k(x)$ has wavelength equal to 10 lattice steps, calculate the lattice step a . Draw the profile of the real part of the envelope function and eigenfunction on 5 lattice steps, knowing that the Bloch function $u_k(x)$ has a single maximum per atom, and is nil in the barrier region.
6. Consider the band diagram in **Fig. 1**, where an electron is promoted from the valence band to the conduction band by absorption of a photon of wavelength $\lambda = 1 \mu\text{m}$ at $k^* = 10^9 \text{ m}^{-1}$. Given $E_g = 1 \text{ eV}$, $m^*_v = 0.5m_e$, $m^*_c = 0.1m_e$, estimate the position k_0 of the bottom of the conduction band and the kinetic energy of the electron after its promotion in CB.
7. Consider two metallic samples with work functions $W_1 = 5 \text{ eV}$, $W_2 = 4.3 \text{ eV}$. Calculate the temperature T_2 at which the second sample must be brought to provide the same thermionic current density of the first sample at temperature $T_1 = 425 \text{ K}$.
8. Calculate the DOS and conduction masses for electrons and holes for the boron nitride (BN), knowing that the CB minima are located in the X points, and given $m^*_{l,BC} = 1.2m_e$, $m^*_{t,BC} = 0.26m_e$, $m^*_{hh} = 0.962m_e$, $m^*_{lh} = 0.108m_e$.
9. Consider the doped silicon rod undergoing an Hall effect experiment in **Fig. 2**, where $W = 1 \mu\text{m}$, $L = 100 \mu\text{m}$, $t = 100 \text{ nm}$, $V_L = 1 \text{ V}$, $B = 1 \text{ T}$, $V_H = 10 \text{ mV}$ positive in the direction noted in figure. Knowing the current at room temperature $I = 100 \mu\text{A}$, determine type, mobility, and concentration of majority carriers. Estimate the current at temperatures $T = 50 \text{ K}$ e $T = 400 \text{ K}$, assuming the semiconductor to remain in the extrinsic operation regime.
10. An n-doped silicon slab ($N_D = 10^{17} \text{ cm}^{-3}$) at room temperature contains a minority carrier excess $p' = 10^{16} \text{ cm}^{-3}$. Knowing the recombination time for minority carriers $\tau_p = 20 \text{ ns}$, calculate the time for the Fermi quasi-level for holes to increase by 50 meV , and the position of the Fermi quasi-level for holes at $t = 750 \text{ ns}$.

Costanti fisiche:

massa dell'elettrone	$m_0 = 9.109 \cdot 10^{-31} \text{ kg}$
costante di Planck	$h = 6.626 \cdot 10^{-34} \text{ J s}$
carica elettronica	$e = 1.602 \cdot 10^{-19} \text{ C}$
costante di Boltzmann	$k_B = 1.381 \cdot 10^{-23} \text{ J K}^{-1}$
velocità della luce	$c = 2.998 \cdot 10^8 \text{ m s}^{-1}$
costante dielettrica nel vuoto	$\epsilon_0 = 8.85419 \cdot 10^{-12} \text{ F m}^{-1}$
costante di Stefan-Boltzmann	$\sigma = 5.67 \cdot 10^{-8} \text{ W m}^{-2} \text{ K}^{-4}$
costante di Wien	$c_W = 2.8 \cdot 10^{-3} \text{ K m}$

	Si	Ge
costante dielettrica relativa ϵ_r	11.7	16
concentrazione intrinseca $n_i \text{ [cm}^{-3}\text{]}$	1.45×10^{10}	2.4×10^{13}
gap di energia $E_G \text{ [eV]}$	1.12	0.66
densità di stati effettiva in banda di conduzione $N_C \text{ [cm}^{-3}\text{]}$	2.8×10^{19}	1.04×10^{19}
densità di stati effettiva in banda di valenza $N_V \text{ [cm}^{-3}\text{]}$	1.04×10^{19}	0.6×10^{19}